

(本试剂盒仅供体外研究使用， 不用于临床诊断！)

产品货号：E-BC-K1100-M

产品规格：96T(80 samples)

检测仪器：酶标仪(450 nm)

Elabscience® 甲酸盐比色法试剂盒

Formate Colorimetric Assay Kit

使用前请仔细阅读说明书。如果有任何问题，请通过以下方式联系我们：

电话：400-999-2100

邮箱：biochemical@elabscience.cn

网址：www.elabscience.cn

具体保质期请见试剂盒外包装标签。请在保质期内使用试剂盒。

联系时请提供产品批号(见试剂盒标签)，以便我们更高效地为您服务。

用途

本试剂盒适用于检测动物组织样本及血清(浆)等液体样本中甲酸盐的含量。

检测原理

甲酸脱氢酶(FDH)能够催化甲酸和 NAD⁺反应产生 NADH, NADH 在 PMS 作用下, 将电子传递给 WST-8, 生产黄色的产物, 其在 450 nm 处有特征吸收峰。样本中自身存在的 NAD(P)H 会产生一定的背景干扰, 因此在测定过程中需要设定对照孔排除这种干扰。

提供试剂和物品

编号	名称	规格 (Size)(96 T)	保存方式 (Storage)
试剂一 (Reagent 1)	提取液 (Extracting Solution)	60 mL×2 瓶	-20°C 保存 6 个月
试剂二 (Reagent 2)	底物 A (Substrate A)	粉剂×2 支	-20°C 避光 保存 6 个月
试剂三 (Reagent 3)	底物 B (Substrate B)	粉剂×1 支	-20°C 避光 保存 6 个月
试剂四 (Reagent 4)	显色剂 (Chromogenic Agent)	1.5 mL×2 支	-20°C 避光 保存 6 个月
试剂五 (Reagent 5)	10 mmol/L 标准品 (10 mmol/L Standard)	1.0 mL×1 支	-20°C 保存 6 个月
	96 孔酶标板	1 板	
	96 孔覆膜	2 张	
	样本位置标记表	1 张	

说明：试剂严格按照上表中的保存条件保存，不同测试盒中的试剂不能混用。

对于体积较少的试剂，使用前请先离心，以免量取不到足够量的试剂。

所需自备物品

仪器：酶标仪(450 nm)

试剂准备

① 检测前，试剂盒中的试剂平衡至室温。

② 试剂二工作液的配制：

取一支试剂二粉剂用0.17 mL试剂一充分溶解，临用前配制，于冰盒上取用，-20°C避光可保存7天。

③ 试剂三工作液的配制：

取一支试剂三粉剂用0.3 mL的试剂一充分溶解，临用前配制，于冰盒上取用，-20°C避光可保存7天。

④ 测定工作液的配制：

按照试剂一：试剂二工作液：试剂三工作液：试剂四 = 8：1：1：10的体积比混匀，按需要现配现用，避光保存。

⑤ 不同浓度标准品的稀释：

编号	①	②	③	④	⑤	⑥	⑦	⑧
标准品浓度($\mu\text{mol/L}$)	0	100	200	300	400	500	600	800
10 mmol/L 标准品(μL)	0	10	20	30	40	50	60	80
双蒸水(μL)	1000	990	980	970	960	950	940	920

样本准备

① 样本处理

血清血浆等液体样本：用 10 KD 超滤管进行超滤， $12000 \times g$ 离心 10 min，超滤后取滤液进行测定。

组织样本：常规匀浆处理(匀浆介质为试剂一)，匀浆后用 10 KD 超滤管进行超滤， $12000 \times g$ 离心 10 min，超滤后取滤液进行测定。

② 样本的稀释

在正式检测前，需选择2-3个预期差异大的样本稀释成不同浓度进行预实验，根据预实验的结果，结合本试剂盒的线性范围：8.20-800 $\mu\text{mol/L}$ ，请参考下表稀释(仅供参考)：

样本	稀释倍数	样本	稀释倍数
人血清	不稀释	大鼠血浆	不稀释
狗血清	不稀释	10% 大鼠肝组织	不稀释
小鼠血清	不稀释	10% 大鼠肾组织	不稀释
马血清	不稀释	10% 大鼠脾组织	不稀释
猪血清	不稀释	10% 大鼠脑组织	不稀释

注：稀释液为试剂一。

实验关键点

- ① 试剂一取用时应倒出部分，再取用，避免试剂污染。
- ② 样本加入板孔中时应触底加入。

操作步骤

- ① 测定孔：向酶标板对应的测定孔中加入 50 μL 的待测样本；
标准孔：向酶标板对应的标准孔中加入 50 μL 不同浓度的标准品溶液；
- ② 向步骤①中各孔分别加入 50 μL 的测定工作液；
- ③ 酶标仪上振板 5 s，然后放入 37°C 恒温箱中，孵育 30 min，于波长 450 nm 处测定各孔 OD 值。

(注：随着孵育时间延长，显色会加深，在保证样本正常显色的情况下，尽量使标准曲线最高点的 OD 值处于 1.5-2.0 的范围内)

操作表

	标准孔	测定孔
待测样本(μL)	--	50
不同浓度标准品(μL)	50	--
测定工作液(μL)	50	50

酶标仪上振板 5 s，然后放入 37°C 恒温箱中，孵育 30 min，于波长 450 nm 处测定各孔 OD 值。

结果计算

标准品拟合曲线: $y = ax + b$

血清(浆)、尿液等液体样本中甲酸盐含量的计算:

$$\text{甲酸盐含量} = (\Delta A - b) \div a \times f \\ (\mu\text{mol/L})$$

组织样本中甲酸盐含量的计算:

$$\text{甲酸盐含量} = (\Delta A - b) \div a \times f \times V \div W \\ (\mu\text{mol/g 组织鲜重})$$

注解:

y: 标准品 OD 值-空白 OD 值(标准品浓度为 0 时的 OD 值)

x: 标准品的浓度

a: 标曲的斜率

b: 标曲的截距

ΔA : 样本测定 OD 值-空白 OD 值 (标准品浓度为 0 的 OD 值)

f: 加入检测体系前样本的稀释倍数

V: 组织匀浆过程中提取液的体积($0.9 \text{ mL} = 0.0009 \text{ L}$)

W: 样本质量(0.1 g)

附录1 关键数据

1. 技术参数

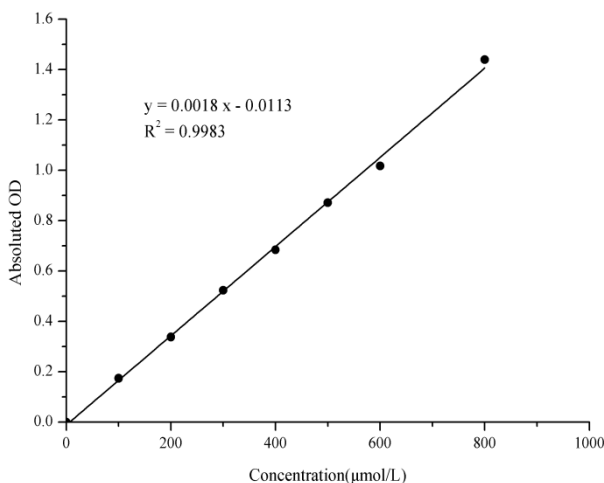
检测范围	8.20-800 $\mu\text{mol/L}$	平均批间差	3.9 %
灵敏度	8.20 $\mu\text{mol/L}$	平均批内差	3.3 %
平均回收率	100 %		

2. 标准曲线(数据仅供参考)

①不同浓度标准品加样量50 μL , 按照操作步骤进行实验, OD值如下表所示:

标准品浓度 ($\mu\text{mol/L}$)	0	100	200	300	400	500	600	800
OD 值	0.157	0.330	0.506	0.686	0.836	1.050	1.178	1.597
	0.150	0.324	0.477	0.668	0.839	1.000	1.163	1.589
平均 OD 值	0.154	0.327	0.492	0.677	0.838	1.025	1.171	1.593
绝对 OD 值	0.000	0.174	0.338	0.524	0.684	0.872	1.017	1.440

②绘制标曲(如下图):



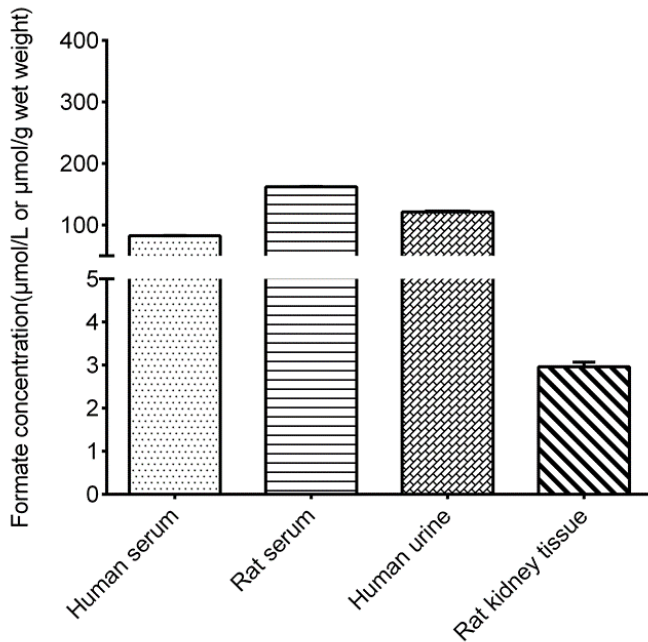
附录2 实例分析

例如检测人血清(数据仅供参考):

取50 μL人血清按说明书操作检测，结果如下：标准曲线： $y = 0.0019 x - 0.0017$ ，测定孔平均OD值为0.422，空白孔平均OD值为0.266，则 $\Delta A = 0.422 - 0.266 = 0.156$ ，计算结果为：

$$\text{甲酸盐含量} = (0.156 + 0.0017) \div 0.0019 = 83 \text{ } \mu\text{mol/L}$$

按说明书操作，测定人血清(加样量50 μL)、大鼠血清(加样量50 μL)、人尿液(加样量50 μL)和10%大鼠肾组织(加样量50 μL)中的甲酸盐含量(如下图)：



附录3 问题答疑

问题	可能原因	建议解决方案
测定时酶标板孔中出现浑浊	样本处理中未能使上清液酸碱度趋于中性	检查实验操作, 上清液是否已用碱试剂中和
样本测定值高于文献值范围	样本自身含量高出正常水平	取不同批次样本, 重新测定
ΔA 值过小或 ΔA 值为负数	样本自身含量过低	可选用超滤管过滤样本后直接测定

声明

1. 试剂盒仅供研究使用, 如将其用于临床诊断或任何其他用途, 我公司将不对因此产生的问题负责, 亦不承担任何法律责任。
2. 实验前请仔细阅读说明书并调整好仪器, 严格按照说明书进行实验。
3. 实验中请穿着实验服并戴乳胶手套做好防护工作。
4. 试剂盒检测范围不等同于样本中待测物的浓度范围。如果样品中待测物浓度过高或过低, 请对样本做适当的稀释或浓缩。
5. 若所检样本不在说明书所列样本类型之中, 建议先做预实验验证其检测有效性。
6. 最终的实验结果与试剂的有效性、实验者的相关操作以及实验环境等因素密切相关。本公司只对试剂盒本身负责, 不对因使用试剂盒所造成的样本消耗负责, 使用前请充分考虑样本可能的使用量, 预留充足的样本。

附录4 客户发表文献

1. Du S, Zhou N, Xie G, et al. Surface-engineered triboelectric nanogenerator patches with drug loading and electrical stimulation capabilities: Toward promoting infected wounds healing[J]. *Nano Energy*, 2021, 85:106004. IF:17.087
2. Bartolini D, Arato I, Mancuso F, et al. Melatonin modulates Nrf2 activity to protect porcine pre-pubertal Sertoli cells from the abnormal H₂O₂ generation and reductive stress effects of cadmium. *J Pineal Res.* 2022;73 (1):e12806. IF:13.007
3. Yang Z, Wang J, Ai S, et al. Self-generating oxygen enhanced mitochondrion-targeted photodynamic therapy for tumor treatment with hypoxia scavenging[J]. *Theranostics*, 2019, 9(23): 6809. IF:11.556
4. Wan Q, Cao R, Wen G, et al. Sequential use of UV-LEDs irradiation and chlorine to disinfect waterborne fungal spores: Efficiency, mechanism and photoreactivation[J]. *Journal of Hazardous Materials*, 2022, 423:127102-. IF:10.588
5. Tian J, Wang L, Hui S, et al. Cadmium accumulation regulated by a rice heavy-metal importer is harmful for host plant and leaf bacteria. *J Adv Res.* 2022. IF:10.479
6. Jg A, Jie S B, Jy B, et al. Comparative toxicity reduction potential of UV/sodium percarbonate and UV/hydrogen peroxide treatments for bisphenol A in water: An integrated analysis using chemical, computational, biological, and metabolomic approaches[J]. *Water Research*, 2020, 190. IF:9.702
7. Yang X X, Xu X, Wang M F, et al. A nanoreactor boosts chemodynamic therapy and ferroptosis for synergistic cancer therapy using molecular amplifier dihydroartemisinin[J]. *Journal of Nanobiotechnology*, 2022, 20(1):1-19. IF:9.464
8. Liu Z, Liu X, Yang Q, et al. Neutrophil membrane-enveloped nanoparticles for the amelioration of renal ischemia-reperfusion injury in mice[J]. *Acta Biomaterialia*, 2020, 104: 158-166. IF:8.947
9. Huang S, Le H, Hong G, et al. An all-in-one biomimetic iron-small interfering RNA nanoplateform induces ferroptosis for cancer therapy. *Acta Biomater.* 2022;148:244-257. IF:8.291
10. Alharbi YM, Sakr SS, Albarak SM, et al. Antioxidative, Antidiabetic, and Hypolipidemic Properties of Probiotic-Enriched Fermented Camel Milk Combined with Salvia officinalis Leaves Hydroalcoholic Extract in Streptozotocin-Induced Diabetes in Rats. *Antioxidants (Basel)*. 2022;11 (4):. IF:7.675

11. Wang H, Huang Q, Zhang Z, et al. Transient post-operative overexpression of CXCR2 on monocytes of traumatic brain injury patients drives monocyte chemotaxis toward cerebrospinal fluid and enhances monocyte-mediated immunogenic cell death of neurons in vitro[J]. Journal of Neuroinflammation, 2022. IF:7.573
12. Liu P, Yin Z, Chen M, et al. Cytotoxicity of adducts formed between quercetin and methylglyoxal in PC-12 cells[J]. Food Chemistry, 2021, 352(2):129424. IF:7.514
13. Adhikari B, Adhikari M, Ghimire B, et al. Cold plasma seed priming modulates growth, redox homeostasis and stress response by inducing reactive species in tomato (*Solanum lycopersicum*)[J]. Free Radical Biology and Medicine, 2020, 156: 57-69. IF:7.376
14. Zhao X, Wang C, Dai S, et al. Quercetin Protects Ethanol-Induced Hepatocyte Pyroptosis via Scavenging Mitochondrial ROS and Promoting PGC-1 α -Regulated Mitochondrial Homeostasis in L02 Cells. Oxid Med Cell Longev. 2022;2022:4591134. IF:7.31
15. Chagas TQ, Freitas N, Montalvao MF, Nobrega RH, Machado MRF, Charlie-Silva I, Araújo APDC, Guimarães ATB, Alvarez TGDS, Malafaia G. Multiple endpoints of polylactic acid biomicroplastic toxicity in adult zebrafish (*Danio rerio*)[J]. Chemosphere. 2021 Aug;277:130279. IF:7.086
16. Mlindeli Gamede, Lindokuhle Mabuza, Phikelelani Ngubane, et al. Preventing the onset of diabetes-induced chronic kidney disease during prediabetes: The effects of oleanolic acid on selected markers of chronic kidney disease in a diet-induced prediabetic rat model[J]. Biomedicine & Pharmacotherapy. 2021 Jul;139:111570. IF:6.529
17. Yang H, Zhu Y, Ye Y, et al. Nitric oxide protects against cochlear hair cell damage and noise-induced hearing loss through glucose metabolic reprogramming.[J]. Free radical biology & medicine, 2021. IF:6.525
18. Rao M J, Xu Y, Tang X, et al. CsCYT75B1, a Citrus CYTOCHROME P450 Gene, Is Involved in Accumulation of Antioxidant Flavonoids and Induces Drought Tolerance in Transgenic Arabidopsis[J]. Antioxidants & Redox Signaling, 2020, 9(2):161. IF:6.313
19. Liou G G, Hsieh C C, Lee Y J, et al. N-Acetyl Cysteine Overdose Inducing Hepatic Steatosis and Systemic Inflammation in Both Propacetamol-Induced Hepatotoxic and Normal Mice[J]. Antioxidants, 2021, 10(3):442. IF:6.312
20. Wang Y, Chi H, Xu F, et al. Cadmium chloride-induced apoptosis of HK-2 cells via interfering with mitochondrial respiratory chain[J]. Ecotoxicology and Environmental Safety, 2022, 236:113494-. IF:6.233
21. Obaid QA, Al-Shammari AM, Khudair KK. Glucose Deprivation Induced by Acarbose

- and Oncolytic Newcastle Disease Virus Promote Metabolic Oxidative Stress and Cell Death in a Breast Cancer Model. *Front Mol Biosci.* 2022;9:816510. IF:6.113
- 22. Abdel-Wahab BA, Walbi IA, Albarqi HA, Ali FEM, Hassanein EHM. Roflumilast protects from cisplatin-induced testicular toxicity in male rats and enhances its cytotoxicity in prostate cancer cell line. Role of NF- κ B-p65, cAMP/PKA and Nrf2/HO-1, NQO1 signaling[J]. *Food Chem Toxicol.* 2021 May;151:112133. IF:6.023
 - 23. Aljutaily T. Evaluating the Nutritional and Immune Potentiating Characteristics of Unfermented and Fermented Turmeric Camel Milk in Cyclophosphamide-Induced Immunosuppression in Rats. *Antioxidants (Basel).* 2022;11 (4):. IF:5.952
 - 24. Jabbari N, Nawaz M, Rezaie J. Ionizing Radiation Increases the Activity of Exosomal Secretory Pathway in MCF-7 Human Breast Cancer Cells: A Possible Way to Communicate Resistance against Radiotherapy[J]. *International Journal of Molecular Sciences,* 2019, 20(15):3649-. IF:5.923
 - 25. Shanmugarajan D, Girish C, Harivenkatesh N, et al. Antihypertensive and pleiotropic effects of Phyllanthus emblica extract as an add-on therapy in patients with essential hypertension—A randomized double-blind placebo-controlled trial[J]. *Phytotherapy Research,* 2021. IF:5.878
 - 26. Marzocco S, Fazeli G, Di Micco L, et al. Supplementation of Short-Chain Fatty Acid, Sodium Propionate, in Patients on Maintenance Hemodialysis: Beneficial Effects on Inflammatory Parameters and Gut-Derived Uremic Toxins, A Pilot Study (PLAN Study)[J]. *Journal of Clinical Medicine,* 2018. IF:5.688
 - 27. Peng J, Pan J, Mo J, et al. MPO/HOCl Facilitates Apoptosis and Ferroptosis in the SOD1 G93A Motor Neuron of Amyotrophic Lateral Sclerosis. *Oxid Med Cell Longev.* 2022;2022:8217663. IF:5.604
 - 28. Treadmill Exercise Alleviates Brain Iron Dyshomeostasis Accelerating Neuronal Amyloid- β Production, Neuronal Cell Death, and Cognitive Impairment in Transgenic Mice Model of Alzheimer's Disease[J]. *Molecular neurobiology,* 2021, 58(7):3208-3223. IF:5.59
 - 29. Aboulhoda, B. E., Rashed, L. A., Ahmed, H., et al. Hydrogen sulfide and mesenchymal stem cells-extracted microvesicles attenuate LPS-induced Alzheimer's disease[J]. *Journal of Cellular Physiology,* 2021, 236(8):5994-6010 IF:5.546